

エルニーニョ監視速報 (No. 154)

太平洋赤道域の海水温等の 2005 年 6 月の状況、及びエルニーニョ監視海域（北緯 4 度～南緯 4 度、西経 150 度～西経 90 度）の海面水温の今後の見通し（2005 年 7 月～2006 年 1 月）は、以下の通りである。

- 太平洋赤道域の海面水温はほぼ全域で正偏差が見られた。海洋表層（海面から深度数百 m までの領域）では、顕著な水温の正偏差や負偏差の東進は見られなかった。対流活動はほぼ平年並だった。
- エルニーニョ監視海域の海面水温は、夏から秋にかけて基準値（1961～1990 年の 30 年平均値）に近づき、その後はほぼ基準値に近い値で推移するとみられる。予測期間中にエルニーニョ現象が発生する可能性は低い。

【解説】

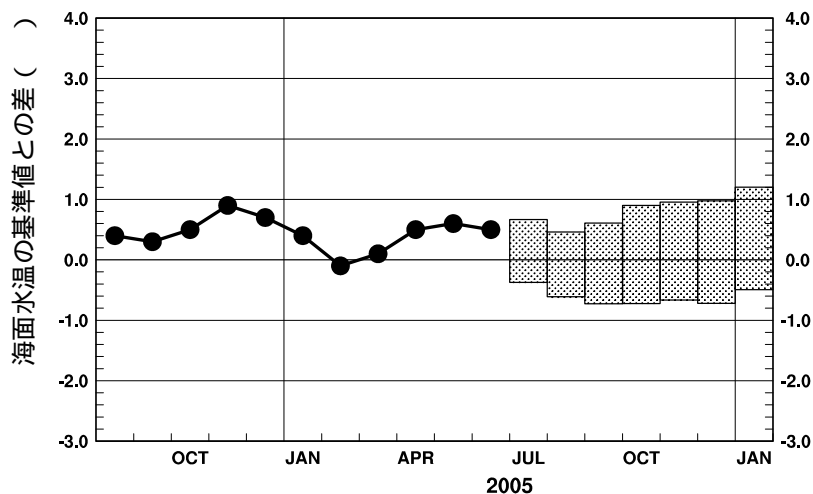
6 月の太平洋赤道域の海面水温は、ほぼ全域で平年より高く（図 2）。エルニーニョ監視海域の海面水温の基準値との差は +0.5°C だった（表、図 1）。一方、海洋表層では顕著な水温の正偏差や負偏差の東進は見られなかった（図 5）。また、6 月の太平洋赤道域の対流活動はほぼ平年並（図 6）で、赤道季節内振動も不明瞭だった（図 8a）。東経 130 度から西経 170 度の大気下層では月を通じて東風偏差であった（図 8b）。

このように現時点で、太平洋赤道域の大気および海洋において顕著な海面水温の偏差を生じさせる要因は認められない。

エルニーニョ予測モデルは、監視海域の海面水温が夏から秋にかけて基準値に近づき、その後はほぼ基準値に近い値で推移すると予測している（下図）。

以上のことから、監視海域の海面水温は、夏から秋にかけて基準値に近づき、その後はほぼ基準値に近い値で推移するとみられ、予測期間中にエルニーニョ現象が発生する可能性は低いと判断される。

エルニーニョ予測モデルによるエルニーニョ監視海域の海面水温予測（基準値との差）



この図は、エルニーニョ監視海域の海面水温（基準値との差）の先月までの推移（折れ線グラフ）とエルニーニョ予測モデルから得られた今後の予測（ボックス）を示している。各月のボックスは、海面水温の基準値との差が 70% の確率で入る範囲を示す。（基準値は 1961～1990 年の 30 年平均値）【注：図 9 に再掲】

【監視・予測資料】

2005年6月における赤道域の海洋と大気の状況

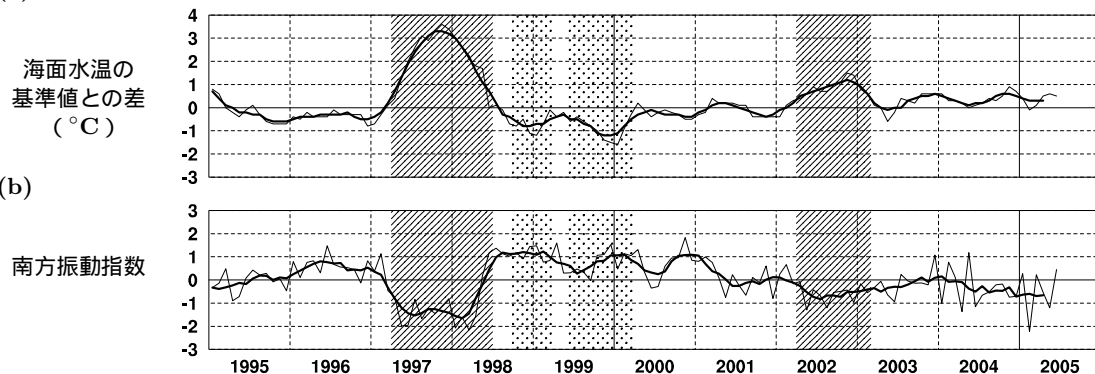
1. エルニーニョ監視指数（表、図1）

- エルニーニョ監視海域（北緯4度～南緯4度、西経150度～西経90度）の6月の海面水温の基準値（1961～1990年の30年平均値）との差は+0.5°Cだった（表、図1）。
- 6月の南方振動指数は+0.4（速報値）だった（表、図1）。

エルニーニョ監視海域（斜線域）及び
南方振動指数の算出に関連する
タヒチ（TAHITI）と
ダーウィン（DARWIN）の位置（黒丸）



(a)



(b)

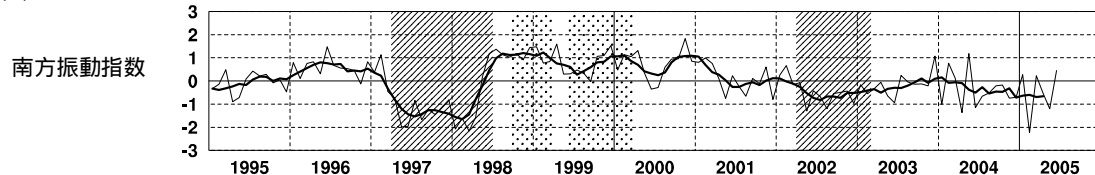


図1 エルニーニョ監視海域の海面水温の基準値との差（°C）(a)と南方振動指数(b)の推移（1995年1月～2005年6月）。折線は月平均値、滑らかな太線は5か月移動平均値を示す（海面水温の基準値は1961～1990年の30年平均値、南方振動指数の平年値は1971～2000年の30年平均値）。エルニーニョ現象の発生期間に濃い陰影を、ラニーニャ現象の発生期間に淡い陰影を施した。

表 エルニーニョ監視指数

	2004年						2005年					
	7月	8月	9月	10月	11月	12月	1月	2月	3月	4月	5月	6月
月平均海面水温（°C）	25.4	25.0	24.9	25.1	25.5	25.6	25.8	26.1	27.0	27.6	27.2	26.6
基準値との差（°C）	+0.2	+0.4	+0.3	+0.5	+0.9	+0.7	+0.4	-0.1	+0.1	+0.5	+0.6	+0.5
5か月移動平均（°C）	+0.2	+0.3	<u>+0.5</u>	<u>+0.6</u>	<u>+0.6</u>	<u>+0.5</u>	+0.4	+0.3	+0.3	+0.3		
南方振動指数	-0.6	-0.5	-0.2	-0.2	-0.7	-0.7	+0.3	-2.2	+0.2	-0.5	-1.2	!+0.4

5か月移動平均値の下線部は+0.5°C以上となった月を、斜字体は-0.5°C以下となった月を示す。

南方振動指数の!印は速報値であることを示す。

エルニーニョ/ラニーニャ現象：気象庁では、エルニーニョ監視海域の海面水温の基準値との差の5か月移動平均値が6か月以上続けて+0.5°C以上となった場合をエルニーニョ現象、6か月以上続けて-0.5°C以下となった場合をラニーニャ現象としている。

南方振動指数：タヒチとダーウィンの地上気圧の差を指数化したもので、貿易風の強さの目安の一つであり、正（負）の値は貿易風が強い（弱い）ことを表している。

2. 海面水温（図2、図4）

太平洋赤道域ではほぼ全域で正偏差

- 6月の太平洋赤道域の海面水温は、ほぼ全域で平年より高く、東経160度から西経175度にかけてと西経165度から西経150度及び西経115度付近で平年より 0.5°C 以上高かった（図2）。
- 太平洋赤道域の東経160度から西経175度にかけてと西経165度から西経150度で海面水温が平年より 0.5°C 以上高い状態は、4月から変化していない。4月下旬から5月上旬にかけて西経100度付近に見られた $+1^{\circ}\text{C}$ 以上の正偏差は減少し、5月下旬から6月上旬にかけては平年並となった。西経90度付近では6月中旬に一時的に -0.5°C 以下の負偏差となった。6月下旬には西経125度、西経115度及び西経90度付近で $+0.5^{\circ}\text{C}$ 以上の正偏差が見られた（図4）。
- インド洋赤道域の海面水温はほぼ全域で平年より高かった（図2）。

3. 表層水温（図3、図5）

顕著な正偏差や負偏差の東進は見られない

- 6月の太平洋の赤道に沿った表層（海面から深度数百mまでの領域）水温は、東経140度の深度160mから200mで平年より 1°C 以上高かった。また、西経115度から西経80度にかけては、深度110mから30mの水温 15°C から 19°C の等温線に沿って、 -1°C 以下の負偏差が見られた（図3）。
- 太平洋の赤道に沿った海面から深度260mまでの平均水温平年偏差の経度－時間断面図によると、4月から5月にかけて中部から東部を東進した -0.5°C 前後の負偏差は、5月末に南米沿岸に達した。4月中旬に東経160度付近に現れた $+0.5^{\circ}\text{C}$ 以上の正偏差は5月中旬に日付変更線付近で消失した。5月末に東経160度以西に現れた $+0.5^{\circ}\text{C}$ 以上の正偏差は、6月中旬には日付変更線付近まで達したが、その後見られなくなった。6月下旬には全域で $\pm 0.5^{\circ}\text{C}$ を超える偏差は見られなくなった（図5）。

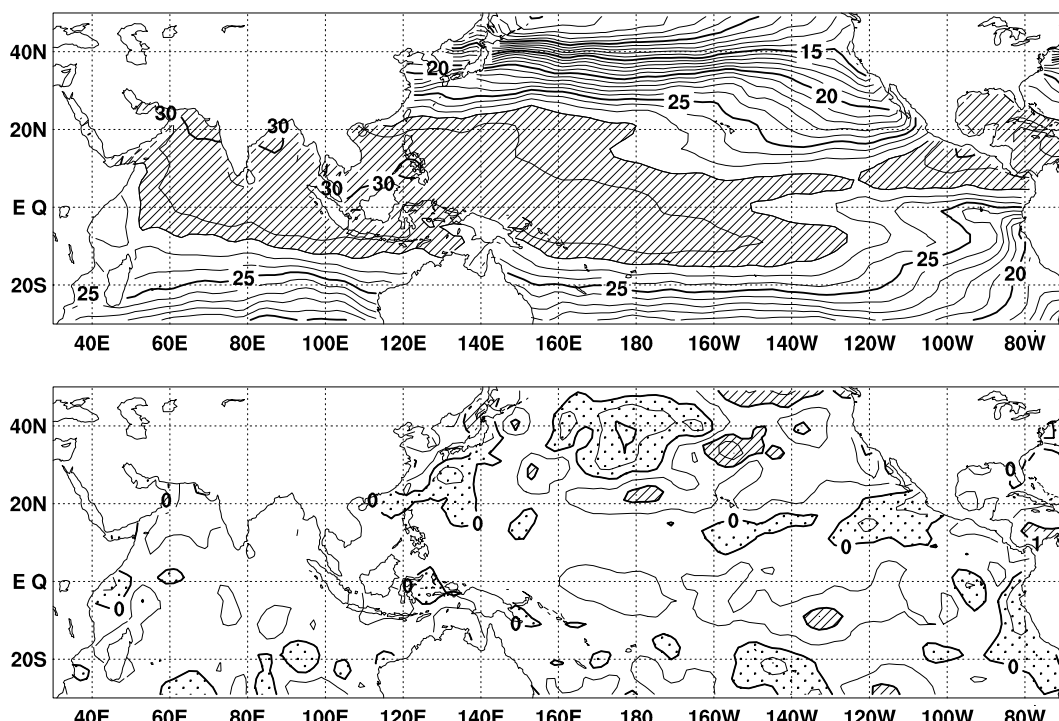


図2 2005年6月の海面水温図（上）及び平年偏差図（下）。海面水温図の太線は 5°C 毎、細線は 1°C 毎の、平年偏差図の太線は 1°C 毎、細線は 0.5°C 毎の等温線を示す。海面水温図の陰影部は 28°C 以上の領域を示し、偏差図の濃い陰影部は海面水温が平年値より 1°C 以上高い領域を、淡い陰影部は平年値より低い領域を示す（平年値は1971～2000年の30年平均値）。

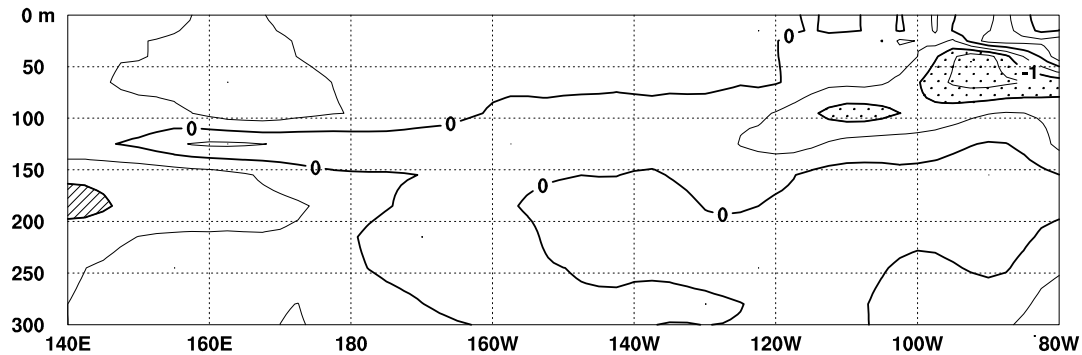
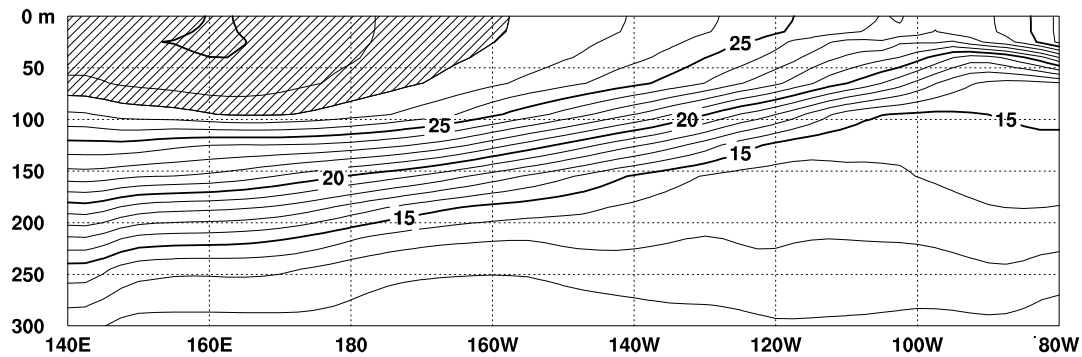


図3 2005年6月の太平洋の赤道に沿った水温(上)及び平年偏差(下)の断面図(海洋データ同化システムによる)。上図の等值線間隔は1°Cで28°C以上には陰影を施し、下図の等值線間隔は0.5°Cで、水温が平年値より1°C以上高い(低い)領域には濃い(淡い)陰影を施した(平年値は1987~2004年の18年平均値)。

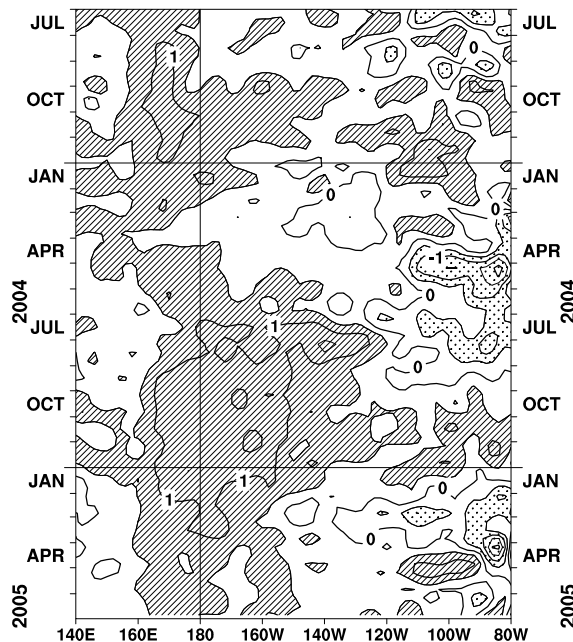


図4 太平洋の赤道に沿った海面水温平年偏差の経度-時間断面図。等值線の間隔は0.5°Cで、海面水温が平年値より0.5°C以上高い(低い)領域には濃い(淡い)陰影を施した(平年値は1971~2000年の30年平均値)。

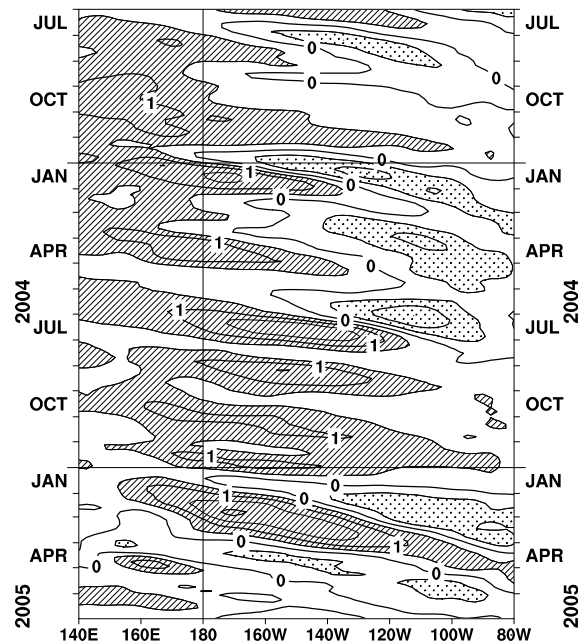


図5 太平洋の赤道に沿った海面から深度260mまでの平均水温平年偏差の経度-時間断面図(海洋データ同化システムによる)。等值線の間隔は0.5°Cで、平均水温が平年値より0.5°C以上高い(低い)領域には濃い(淡い)陰影を施した(平年値は1987~2004年の18年平均値)。

4. 大気（図 6～図 8）

太平洋赤道域の対流活動はほぼ平年並

- 6月の太平洋赤道域の対流活動は、西部でやや不活発だったことを除き、ほぼ平年並だった（図 6）。
- 6月の中部太平洋の赤道東西風指数は、大気の上層下層ともに東風偏差を示していた（図 7）。
- 6月は赤道季節内振動が不明瞭だった。大気下層の東経 130 度から西経 170 度では月を通して 1.5m/s 以上の東風偏差が見られた。一方、6月下旬には西経 120 度から西経 80 度にかけて西風偏差が見られた（図 8）。

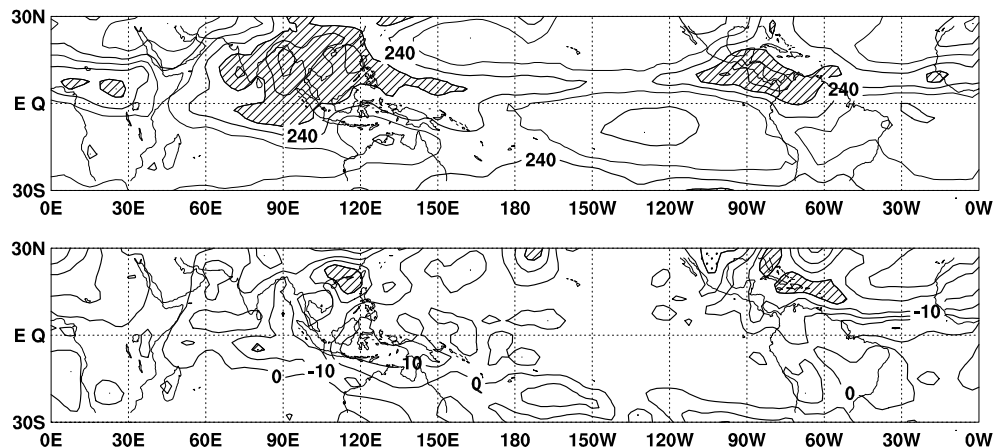


図 6 2005 年 6 月の外向き長波放射量 (OLR) (上) 及び平年偏差 (下) の分布図。OLR の値が小さいほど、対流活動が活発であることを示しており、上図では 220W/m^2 以下の領域に陰影を、下図では OLR が平年値より 20W/m^2 以上少ない（多い）領域に濃い（淡い）陰影を施した（平年値は 1979～2000 年の 22 年平均値）。上図は 20W/m^2 每、下図は 10W/m^2 每に等値線を描いている。OLR データは米国海洋大気庁 (NOAA) から提供されたものである。

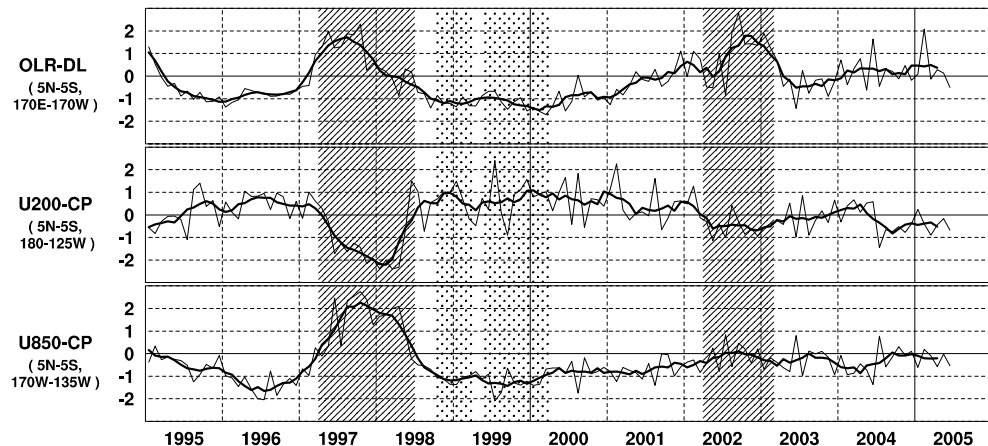


図 7 日付変更線付近の OLR 指数 (OLR-DL)、対流圈上層 (200hPa) の赤道東西風指数 (U200-CP)、対流圈下層 (850hPa) の赤道東西風指数 (U850-CP) の時系列 (上から順に)。折線は月平均値、滑らかな太線は 5 か月移動平均値を示す (平年値は 1979～2000 年の 22 年平均値)。エルニーニョ現象の発生期間に濃い陰影を、ラニーニャ現象の発生期間に淡い陰影を施した。

赤道季節内振動：熱帯大気に見られる 30～60 日程度の周期の振動。対流活動の活発な領域が東進するのにあわせて東西風の変化も東に移動する。

OLR 指数：OLR から導いた上層雲量の指標の一つ。正（負）の値は上層雲量が平年より多い（少ない）状態を示す。

赤道東西風指数：赤道付近の東西循環の指標の一つ。正（負）の値は西風（東風）偏差であることを示す。

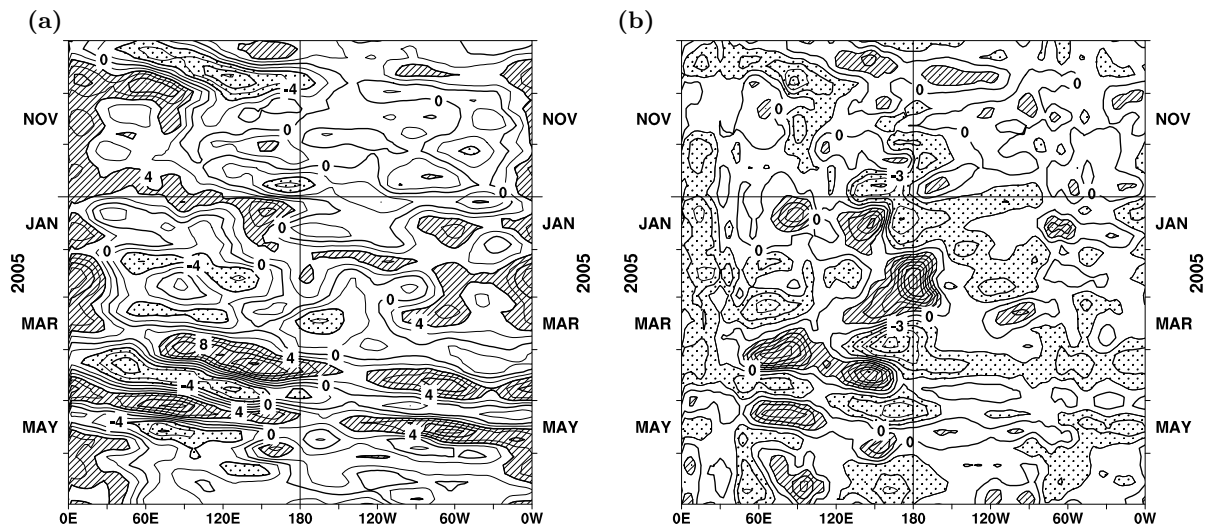


図 8 赤道付近における対流圏上層(200hPa)の速度ポテンシャルの年平均偏差(a)及び対流圏下層(850hPa)の東西風速の年平均偏差(b)の経度-時間断面図。(a)等値線の間隔は $2 \times 10^6 \text{m}^2/\text{s}$ で、年平均値よりも $4 \times 10^6 \text{m}^2/\text{s}$ 以上発散が強い(弱い)領域に濃い(淡い)陰影を施している。(b)等値線の間隔は 1.5m/s で、年平均値よりも 1.5m/s 以上西風(東風)が強い領域には濃い(淡い)陰影を施している(両者の年平均値は1979年~1993年の15年平均値で、欧州中期予報センター(ECMWF)から提供された再解析データ(ERA15)を用いて算出)。

エルニーニョ予測モデルによる予測結果(2005年7月~2006年1月)

- 監視海域の海面水温は、今後、夏から秋にかけて基準値に近づき、その後はほぼ基準値に近い値で推移すると予測している。

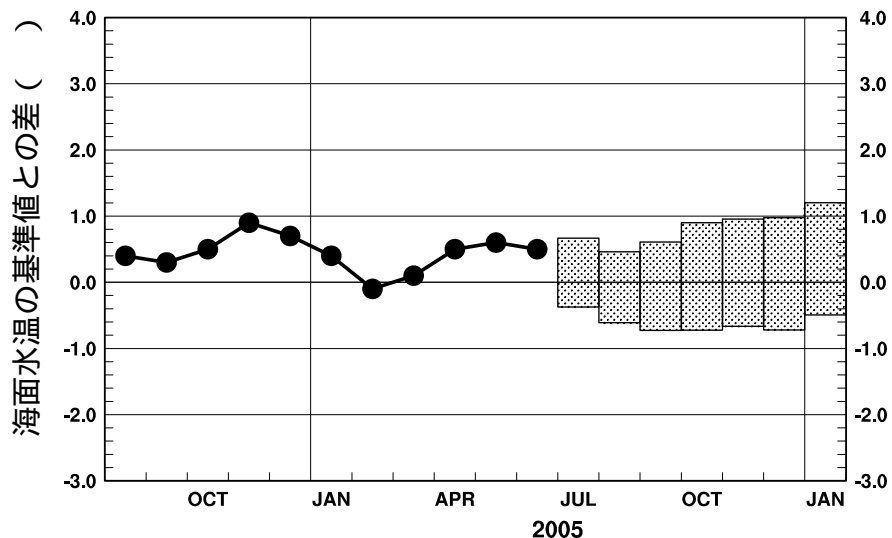


図 9 エルニーニョ予測モデルによるエルニーニョ監視海域の海面水温予測(基準値との差)。エルニーニョ監視海域の海面水温(基準値との差)の先月までの推移(折れ線グラフ)とエルニーニョ予測モデルから得られた今後の予測(ボックス)を示す。各月のボックスは、海面水温の基準値との差が70%の確率で入る範囲を示す。(基準値は1961~1990年の30年平均値)

エルニーニョ現象などの情報は気象庁ホームページでもご覧になれます。

(<http://www.data.kishou.go.jp/climate/elnino/index.html>)

来月の発表は、8月10日14時の予定です。
内容に関する問い合わせ先：気候情報課
(電話 03-3212-8341 内線 5134、5135)